

مدل‌سازی اثر زمان اعمال تنش شوری محیط ریشه بر عملکرد گیاه کلزا

وحیدرضا جلالی^۱ و مهدی همایی^{۲}

تاریخ دریافت: ۸۸/۱/۱۶ و تاریخ پذیرش: ۸۹/۲/۱۸

E-mail: mhomaee@modares.ac.ir

چکیده

پاسخ گیاه کلزا به تنش شوری محیط رشد ریشه، به طور قابل توجهی به مرحله رشد گیاه وابسته است. این مطلب در اکثر پژوهش‌های مربوط به شوری مورد غفلت واقع گردیده و آزمایشات مربوط به شوری براساس فرض یکسان بودن آستانه تحمل گیاه طی کل دوره رشد، طراحی شده و تنها یک آستانه کاوش برای هر گیاه ارائه شده است. بررسی کمی پاسخ گیاه کلزا (رقم Option500) به تنش شوری طی دو آزمایش کاملاً متفاوت انجام گرفت. در آزمایش نخست، گیاه از آبتدًا تحت تنش شوری بود. حال آنکه در آزمایش دوم، گیاه تنها در مرحله آخر رشد خود تحت تنش قرار گرفت. بدین ترتیب آزمایش‌ها با یک تیمار غیرشور و هشت تیمار با شوری‌های سه، پنج، هفت، نه، ۱۱، ۱۳، ۱۵ و ۱۷ دسی‌زیمنس بر متر که از منع آب شور طبیعی دریاچه حوض سلطان قم تأمین شده بود، در یک خاک شن لومی انجام گرفت. به منظور کمی کردن اثر شوری در هر یک از دو آزمایش، مقادیر عملکرد نسبی دانه در شوری‌های مختلف، با استفاده از مدل‌های ماس و هافمن، ونگنوختن و هافمن، دیرکسن و همکاران و همایی و همکاران برآورد و پارامترهای مورد نظر به دست آمد، سپس مقایسه مدل‌ها با استفاده از پنج آماره کمی انجام شد. برآش مدل‌های مختلف بر مقادیر اندازه‌گیری شده، طی دو آزمایش نشان داد که مدل همایی و همکاران از دقت بیشتری نسبت به سایر مدل‌ها برخوردار است.

کلمات کلیدی: شوری آستانه، عملکرد نسبی، کلزا، مدل‌سازی، مراحل رشد

۱- دانشجوی دکتری رشته خاکشناسی، دانشکده کشاورزی، دانشگاه تربیت مدرس، تهران - ایران

۲- استاد گروه خاکشناسی، دانشکده کشاورزی، دانشگاه تربیت مدرس تهران - ایران (مسئول مکاتبه)

مقداده

h پتانسیل ماتریک (L) و S مقدار آب جذب شده ($L^3 L^{-3} T^{-1}$) به وسیله ریشه گیاه در واحد حجم خاک و زمان ($L^3 L^{-3} T^{-1}$) می‌باشد. برای بیان کمی S مدل‌هایی وجود دارد که می‌توان آنها را به دو گروه مدل‌های خرد (Microscopic Models) و مدل‌های کلان (Macroscopic Models) تقسیم کرد. مدل‌های خرد به دلیل فرضیات مبنایی غیرواقعی و نیز غیرقابل اندازه‌گیری بودن پارامترهای آن، تا به حال به بوته آزمایش گذاشته نشده‌اند. به همین خاطر گروه دیگری از مدل‌ها که به مدل‌های کلان شهرت دارند، طراحی و ارایه گردیده‌اند (۴). در مدل‌های کلان مقدار آب جذب شده Actual T_a توسط گیاه برابر با میزان تعرق واقعی (T_p) و در شرایطی که هیچ‌گونه محدودیت آبی در خاک وجود نداشته باشد، برابر با تعرق پتانسیل (T_p) درنظر گرفته شده و معادله کلی آن به صورت زیر است (۷):

$$S = S_{\max} = \frac{T_p}{Z_r} \quad (۲)$$

در این فرمول، S_{\max} حداقل مقدار آب جذب شده به وسیله ریشه گیاه در واحد حجم خاک و زمان ($L^3 L^{-3} T^{-1}$)، Z_r عمق توسعه ریشه (L) و T_p تعرق پتانسیل ($L T^{-1}$) است. اگر خاک نتواند نیاز آبی گیاه را برای حداقل تعرق (T_p) فراهم آورد، به اندازه α که به آن تابع کاهش می‌شود (۷) (Reduction Function):

$$S = \alpha S_{\max} = \alpha \cdot \frac{T_p}{Z_r} \quad (۳)$$

معمولًاً α تابعی از پتانسیل ماتریک خاک بوده و آن را به صورت $\alpha(h)$ نشان می‌دهند. معادله (۳) شکل عمومی مدل‌های کلان است (۷). در شرایط سور، α تابعی از پتانسیل اسمزی محلول خاک (h_o) بوده و مقدار جذب آب توسط گیاه در این شرایط به صورت زیر تعریف می‌شود:

مقاومت در برابر شوری، برای گیاهی که در معرض تنفس شوری قرار گرفته، به طور قابل ملاحظه‌ای به مرحله رشد گیاه وابسته است. پژوهش‌گران مختلف در پژوهش‌های خود مطلب بالا را اثبات نموده‌اند (۳، ۴ و ۹). از طرف دیگر روند سریع رشد جمعیت جهان و نیاز بیشتر به فرآورده‌های کشاورزی از مسایل مهمی است که بشر با آن روبروست. در این ارتباط، محدودیت منابع آب و خاک به عنوان بستر اصلی تولیدات کشاورزی مطرح بوده و این امر استفاده بهینه از منابع آب و خاک موجود را ضروری ساخته است. واکنش گیاهان به تنفس شوری طی فصل رشد، دائمًاً تغییر می‌کند. اغلب گیاهان از جمله کلزا در مرحله پیش از سبز شدن (جوانه‌زنی) به تنفس شوری مقاوم هستند، لیکن در مرحله گیاهچه و اوایل رشد، به شوری حساس شده و با افزایش سن، مقاومت آنها نیز افزایش می‌یابد (۱، ۲ و ۸). اعمال مدیریت بهینه آب در مناطقی که کیفیت آب و خاک آنها چندان مطلوب نیست، نیازمند تجزیه و تحلیل حساسیت گیاه به شوری در هر یک از مراحل رشد است (۴). بنابراین، تعیین دقیق کاهش میزان عملکرد و اعمال مدیریت مناسب نیازمند شناخت اثر شوری بر عملکرد در هر مرحله رشد می‌باشد. به عبارت دیگر، با تجزیه و تحلیل کمی واکنش گیاه به شوری در مراحل مختلف رشد، می‌توان در دوره‌هایی از رشد که مقاومت گیاه به شوری نسبتاً بالاست، مقادیر متنابه از منابع آب شور را همراه با حفظ سطح مطلوب عملکرد به کار برد. گیاهان برای فتوستز و تعرق، به آب نیاز دارند. با افزایش میزان شوری، جذب آب توسط گیاه کاهش می‌یابد. مناسب‌ترین روش کمی کردن جذب آب توسط ریشه گیاهان، استفاده از معادله کلی جریان یا معادله ریچاردز است که به صورت زیر نوشته می‌شود (۱۷):

$$\frac{\partial \theta}{\partial t} = \frac{\partial}{\partial z} \left[K(h) \frac{\partial h}{\partial z} + K(h) \right] - S \quad (۱)$$

در این فرمول، θ رطوبت حجمی خاک ($L^3 L^{-3}$)، t زمان (T)، z عمق (L)، K ضریب آبگذری غیراشباع خاک

$$\alpha(h_{\circ}) = \frac{1}{1 + \left(\frac{h_{\circ}^* - h_{\circ}}{h_{\circ}^* - h_{\circ50}} \right)^P} \quad (7)$$

این رابطه نسبت به روابط قبلی می‌تواند با دقت بیشتری واکنش گیاه به شوری را شبیه‌سازی کند، ولی مهمترین محدودیت آن، به دست آوردن h_{050} است. همچنین پارامتر P تابع فیزیکی و یا به صورت تجربی در آن تعریف نشده است. در واقع P مانند $h_{\circ50}^*$ و h_{\circ} فاکتوری وابسته به شکل تابع است. با فرض اینکه P پارامتری وابسته به محصول، خاک و اقلیم است، همایی و همکاران (۱۲) معادله زیر را برای به دست آوردن آن پیشنهاد نمودند:

$$p = \frac{h_{\circ50}}{h_{\circ50} - h_{\circ}^*} \quad (8)$$

به دلیل اینکه مشکل به دست آوردن h_{050} تا بدين جا حل نشده باقیمانده بود، مقدار $h_{\circ50}$ با h_{\circmax} جایگزین شده و تابع خطی زیر را که دارای دو آستانه کاهش می‌باشد، پیشنهاد شد (۱۴ و ۱۵):

$$\alpha(h) = \frac{1}{1 + (1 - \alpha_0)/\alpha_0 [(h_{\circ}^* - h_{\circ})/(h_{\circ}^* - h_{\circmax})]^P} \quad (9)$$

کاهش در مقدار α در شوری‌های بیشتر از h_{\circ}^* ادامه می‌یابد تا به یک شوری معین (h_{\circmax}) برسد. در شوری‌های بیشتر از h_{\circmax} افزایش شوری نمی‌تواند با همان روند قبلی در مقدار α کاهش ایجاد کند. این واقعیت نشان می‌دهد که در $h_{\circ} > h_{\circmax}$ گیاه هنوز زنده بوده و در سطحی بسیار اندک به فعالیت‌های حیاتی خود ادامه می‌دهد (۱۱). سپس مقدار P را با توجه به h_{\circmax} به صورت زیر تعریف شد:

$$p = \frac{h_{\circmax}}{h_{\circmax} - h_{\circ}^*} \quad (10)$$

$$S = \alpha(h_{\circ}) S_{\max} = \alpha(h_{\circ}) \frac{T_p}{Z_r} \quad (4)$$

توابعی که برای $\alpha(h_{\circ})$ پیشنهاد شده‌اند منحصر به روابطی هستند که توسط منابع زیادی (۶، ۱۲، ۱۳، ۱۴، ۱۵، ۱۶) ارایه گردیده‌اند و به شرح زیر می‌باشند:

ماس و هافمن (۱۶) تابعی خطی و دو ناحیه‌ای ارایه کردند (معادله ۵) که بر مبنای آن تا پیش از آستانه شوری (h_{\circ}^*)، هیچ‌گونه کاهشی در جذب آب پدید نمی‌آید. اما با افزایش h_{\circ} به مقادیر بالاتر از h_{\circ}^* مقدار جذب به طور خطی کاهش می‌یابد:

$$\alpha(h_{\circ}) = 1 - \frac{a}{360} (h_{\circ}^* - h_{\circ}) \quad (5)$$

که در آن a شبی خط یا مقدار کاهش عملکرد به ازای یک واحد افزایش شوری پس از آستانه شوری می‌باشد. از آنجا که منحنی دقیق پاسخ گیاه به شوری، شکلی سیگموییدی، نه خطی دارد، به همین دلیل و نگنوختن و هافمن (۱۸) معادله‌ای غیرخطی به صورت زیر پیشنهاد کردند:

$$\alpha(h_{\circ}) = \frac{1}{1 + \left(\frac{h_{\circ}}{h_{\circ50}} \right)^P} \quad (6)$$

در این فرمول، $h_{\circ50}$ (L) مقدار فشار اسمزی است که در آن میزان جذب آب توسط گیاه ۵۰ درصد کاهش می‌یابد و P ضریبی تجربی است که وابسته به گیاه، خاک و اقلیم می‌باشد.

تحقیقات نشان داد که جذب آب توسط گیاه تا رسیدن به یک شوری معین (h_{\circ}^*) کاهش نمی‌یابد، به همین خاطر محققین (۵ و ۶) معادله فوق را نسبت به آستانه شوری (h_{\circ}^*) تعديل و رابطه زیر را پیشنهاد نمودند:

از آب شور مصنوعی که عموماً NaCl و یا ترکیبی از CaCl_2 و NaCl بوده، در بیشتر پژوهش‌های انجام شده در مورد تأثیر شوری بر رشد و عملکرد گیاه استفاده شده است. بدین ترتیب از تأثیر منفی سمیت برخی از عناصر و یا تأثیر آنها بر قابلیت فراهمی دیگر عناصر غذایی از لحاظ جذب در سطح ریشه‌ها و انتقال در درون گیاه، صرف نظر می‌گردد. این موضوع با شرایط واقعی منابع آب و خاک شور تطابق ندارد. به همین دلیل، در این پژوهش استفاده از آب شور طبیعی نسبت به آب شور مصنوعی ترجیح داده شد. در جدول (۱) برخی ویژگی‌های شیمیایی این آب ارایه شده است.

آب شور تهیه شده از دریاچه حوض سلطان با شوری 600 dS.m^{-1} برای استفاده در تیمارهای موردنظر با آب معمولی رقیق گردید تا شوری‌های موردنظر برای اعمال تیمارهای آزمایشی به دست آید. برای تهیه بالاترین تیمار شوری 17 dS.m^{-1} ، نمونه آب اولیه ۴۲ بار رقیق شد، در حالی که این نسبت برای کمترین تیمار شوری یعنی 3 dS.m^{-1} ۲۲۰ بار بود. تیمارهای به کار رفته در این پژوهش، در سه تکرار و شامل آب شهر به عنوان شاهد و هشت سطح شوری $3, 5, 7, 9, 11, 13, 15$ و 17 dS.m^{-1} بود.

در آزمایش اول، گیاه کلزا از ابتدای رشد با سطوح شوری ذکر شده آبیاری گردید در حالی که در آزمایش دوم پس از کاشت، گلدان‌ها تا ابتدای مرحله بلوغ با آب معمولی آبیاری گردیدند تا تنشی به آنها وارد نشود. پس از رسیدن به مرحله موردنظر، هر گلدان با تیمار شوری مربوطه سه بار آب‌شویی شد و تیمارهای شوری پس از آن اعمال گردید.

نحوه آماده‌سازی خاک و پر کردن گلدان‌ها به این صورت بود که ابتدا خاک از الک پنج میلی‌متری عبور داده شد تا مشکلی از لحاظ یکنواختی در نفوذ و آب‌شویی ایجاد نشود. سپس رطوبت خاک از طریق پاشیدن آب روی آنها به حدود پنج درصد رسید تا مناسب‌ترین شرایط برای فشرده‌سازی خاک ایجاد گردد. یک سوم از این خاک مرطوب، به درون گلدان‌ها ریخته شد و سپس به کمک یک هاون مخصوص (که قطر آن برابر قطر داخلی گلدان بود)

همان‌طور که گفته شد کلزا در مراحل مختلف رشد خود نسبت به شوری واکنش‌های متفاوتی دارد. در حالی که تمام مدل‌های موجود که واکنش گیاهان به شوری را به صورت کمی بیان می‌کنند، براساس فرض غلط ثابت بودن شوری خاک از آغاز تا پایان دوره رشد و ثابت بودن آستانه کاهش در کل دوره رشد استوارند (۱۰). به همین خاطر می‌توان انتظار داشت که این مقادیر آستانه شوری که از این آزمایشات به دست آمده است، به طور کامل نتواند واکنش گیاه را در مقابل شوری تخمین بزند، بنابراین اولین هدف این تحقیق، بررسی نحوه واکنش کلزا به شوری در دو آزمایش متفاوت بود. بدین صورت که در آزمایش اول تیمارها از ابتدا و در آزمایش دوم تیمارها فقط در یک مرحله از رشد (مرحله آخر فیزیولوژیک) با آب شور آبیاری گردیدند. از آنجایی که شکل توابع کاهش جذب آب برای هر یک از آزمایشات فوق مشخص نیست، لذا هدف بعدی این تحقیق پاسخ به این سوال بود که آیا توابع کاهش جذب آب در دو آزمایش بالا با مدل‌های موجود برآورده می‌شوند یا می‌باشد مدلی مناسب برای آنها به دست آورده.

مواد و روش‌ها

دو آزمایش جداگانه و با تیمارهای مشترک در یک خاک شور زراعی با بافت لومی-شنی و در گلدان‌هایی به ارتفاع ۳۶ و قطر ۲۲ سانتی‌متر به منظور بررسی اثر شوری بر رشد و عملکرد کلزا و شناسایی دوره‌های حساسیت و مقاومت آن در برابر شوری، انجام گرفت. برای اعمال تیمارهای شوری، یک نمونه خاک سبک‌بافت (Toriorhent Typic) از منطقه قمرود استان قم (59° و 47° طول شرقی و 34° و 43° عرض شمالی) تهیه و به گلخانه حمل شد.

بافت لومی-شنی به این دلیل انتخاب شد تا بتوان شوری کل توده خاک را با اعمال جزء آب‌شویی (Leaching Fraction, LF) زیاد ($LF = 0.5 / 0.05$) نسبتاً یکنواخت نگه داشت. در این پژوهش افزون بر خاک شور، از آب شور طبیعی که از دریاچه حوض سلطان قم فراهم شده بود نیز استفاده گردید.

تراکم ۸۰ بوته در مترمربع). زمان آبیاری بدین صورت بود که گلدان‌ها روزانه توزین شده و در روز سوم به گلدان‌ها تا حد ظرفیت زراعی آب داده می‌شد تا مشکلی از لحاظ تنش آبی به وجود نیاید.

عمل فشرده‌سازی خاک انجام گرفت. این کار برای همه گلدان‌ها تکرار شد تا چگالی خاک گلدان‌ها به مقدار $g.cm^{-3}$ ۱/۳ برسد. پس از آن در هر گلدان هشت بذر سالم کاشته و پس از سبز شدن به سه بوته سالم تقلیل داده شد (معادل

جدول ۱ - نتایج تجزیه شیمیایی نمونه آب

نیترات (mg.l⁻¹)	سدیم (g.l⁻¹)	منیزیم (g.l⁻¹)	کلسیم (g.l⁻¹)	بر (mg.l⁻¹)	سولفات (mg.l⁻¹)	کلر (g.l⁻¹)	بی کربنات (g.l⁻¹)	هدایت الکتریکی (dS.m⁻¹)	واکنش شیمیایی در این دو آزمایش، عملکرد نسبی شامل وزن دانه در هر سطح شوری نسبت به شاهد (آب شهر) در نظر گرفته می‌شد. به منظور کمی کردن اثر شوری بر رشد و عملکرد کلزا، عملکرد نسبی با استفاده از مدل‌های (۵)، (۶)، (۷) و (۹) محاسبه شد. مدل‌های یاد شده بر داده‌های عملکرد نسبی به دست آمده در دو آزمایش بالا برآذش داده شدند. عملکرد نسبی برآورد شده توسط مدل‌ها با مقادیر اندازه‌گیری شده در برابر سطوح مختلف شوری عصاره اشبع رسم و نتایج مدل‌های مختلف با یکدیگر مقایسه گردیدند. همچنین مقایسه کمی مدل‌ها با محاسبه آماره‌های خطای ماقریم (ME)، ریشه میانگین مربعات خطای (RMSE)، ضریب تبیین (CD)، کارآیی مدل (EF) و ضریب جرم باقیمانده (CRM) برای هر کدام از مدل‌ها انجام شد. بیان ریاضی آماره‌های یاد شده به صورت زیر است:

$$EF = \frac{\sum_{i=1}^n (O_i - \bar{O})^2 - \sum_{i=1}^n (P_i - O_i)^2}{\sum_{i=1}^n (O_i - \bar{O})^2} \quad (14)$$

$$CRM = \frac{\sum_{i=1}^n O_i - \sum_{i=1}^n P_i}{\sum_{i=1}^n O_i} \quad (15)$$

در این فرمول‌ها، P_i مقادیر برآورد شده، O_i مقادیر اندازه‌گیری شده و n تعداد نمونه است. کمترین مقدار برای $RMSE$ و ME صفر است. مقدار ME نمایان‌گر بدترین حالت برآورد مدل است. درحالی‌که مقدار $RMSE$ و CD صفر است. CRM نسبت بین پراکنش مقادیر نشان‌دهنده بیش برآورد (Overestimate) و یا کم برآورد (Underestimate) است. CD نسبت بین پراکنش مقادیر برآورد شده و اندازه‌گیری شده را نشان می‌دهد. بیشترین مقدار برای EF یک است. مقادیر EF و CRM می‌توانند مقدار برای EF مقدادر برآورد شده را نسبت به مقدار متفاوت باشند. مقدار منفی EF دلالت میانگین اندازه‌گیری‌ها مقایسه می‌کند. مقدار منفی EF بر آن دارد که میانگین مقادیر اندازه‌گیری شده تخمین بهتری را نسبت به مقادیر برآورد شده ارایه می‌دهند. CRM بیان‌کننده گرایش مدل به تخمین بیشتر و یا کمتر از مقادیر اندازه‌گیری شده است. به دست آوردن مقدار منفی CRM برای یک مدل تمایل مدل را برای بیش برآورد اندازه‌گیری‌ها نشان می‌دهد. اگر تمامی داده‌های برآورد شده و اندازه‌گیری شده یکسان باشند، نتایج آماره‌ها به صورت

$$ME = \max |P_i - O_i|_{i=1}^n \quad (11)$$

$$RMSE = \left[\frac{\sum_{i=1}^n (P_i - O_i)^2}{n} \right]^{\frac{1}{2}} \frac{100}{\bar{O}} \quad (12)$$

$$CD = \frac{\sum_{i=1}^n (O_i - \bar{O})^2}{\sum_{i=1}^n (P_i - \bar{O})^2} \quad (13)$$

1 - Maximim Error

2 - Root Mean Square Error

3 - Coefficient of Determination

4 - Efficiency of model

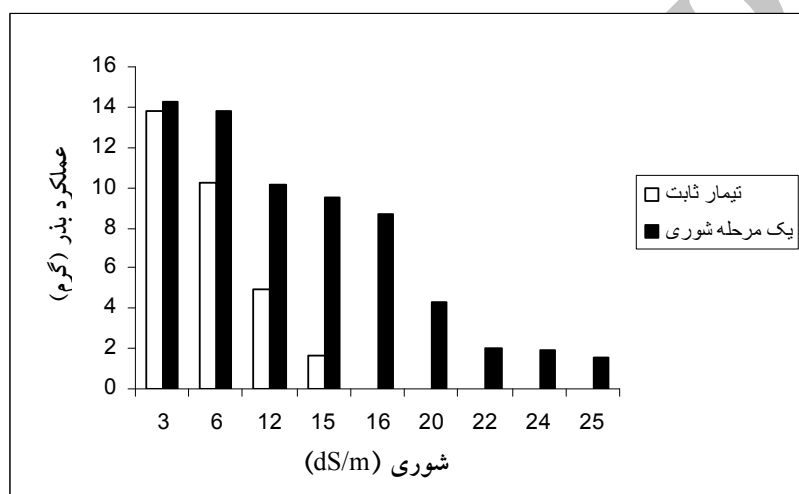
5 - Coefficient of Residual Mass

این شکل دیده می‌شود، در تیماری که کل دوره رشدی خود را تحت تنفس بود، تا شوری ۱۵ دسی‌زیمنس بر متر مقداری عملکرد وجود داشت. لیکن در شوری‌های بالاتر از این مقدار هیچ عملکردی حاصل نشد. در تیماری که تنها یک دوره از دوره‌های رشد خود را تحت تنفس شوری بود، به رغم کاهش مقدار عملکرد در شوری‌های بیشتر، در همه تیمارهای شوری مقدار اندکی عملکرد استحصال شد.

$CRM = EF = 1$, $CD = 1$, $RMSE = 0$, $ME = 0$ ۰ خواهد بود. در پایان تجزیه و تحلیل‌های آماری و کارهای گرافیکی با نرم‌افزار SPSS و Excel انجام پذیرفت.

نتایج و بحث

شکل (۱) عملکرد تیماری که از ابتدا تحت تنفس شوری بود را در مقایسه با تیماری که تنها در مرحله آخر رشد خود تحت تنفس سپری کرد، نشان می‌دهد. همان‌گونه که در



شکل ۱ - مقایسه عملکرد بذر کلزا در دو آزمایش متفاوت

شده گیاهچه کلزا و EC_m آستانه تحمل به شوری برآورد شده توسط مدل می‌باشد. در این آزمایش (شکل ۲)، ضریب تبیین مدل‌های غیرخطی به دلیل پیچیده بودن و نیز تعداد پارامتر ورودی بیشتر نسبت به مدل ساده و خطی ماس و هافمن، اندکی بیشتر بوده است.

شکل (۲) برآشن مدل‌ها بر داده‌های اندازه‌گیری شده در آزمایش اول (تیمار ثابت) را نشان می‌دهد. حروف O و P به ترتیب بیان‌گر داده‌های مشاهده شده (Observed) و پیش‌بینی شده توسط مدل (Predicted) می‌باشد. با برآشن مدل‌های مختلف بر داده‌های اندازه‌گیری شده، پارامترهای مختلف هر یک از مدل‌ها برآورد گردید (جدول ۲). در جدول (۲)، بیان‌گر آستانه تحمل شوری اندازه‌گیری

جدول ۲ - پارامترهای مدل‌های ۵، ۶، ۷ و ۹ برای برآورد پاسخ گیاه کلزا به شوری عصاره اشاع خاک در آزمایش اول

R^2	p	a	b	EC_{max}	EC_{50}	EC_0	مدل
۰/۹۸	-	-	۰/۰۵۶	-	-	۳/۹	Maas & Hoffman
۰/۹۹	۳/۴۱	-	-	-	۱۲/۵۳	-	van Genuchten
۰/۹۹	۲/۰۰	-	-	-	۱۲/۳۲	۳/۹	Dirksen et al
۰/۹۹	۲/۰۰	۰/۱۲	-	۲۶	-	۳/۹	Homaei et al

شده باشد (جدول ۳). همچنین پارامترهای آن به راحتی قابل اندازه‌گیری باشد، با توجه به اینکه از بین تمام مدل‌های غیرخطی فقط مدل همایی و همکاران (۱۵) ویژگی‌های بالا را دارا می‌باشد. بنابراین در آزمایش تیمار ثابت، مدل مذکور مناسب‌ترین مدل شناخته شده و توصیه می‌گردد.

از آنجا که مدل‌های غیرخطی نسبت به مدل خطی ماس و هافمن ضریب تبیین بالاتری دارند، برای تعیین و انتخاب بهترین مدل در این مرحله از آنالیزهای آماری استفاده گردید. با توجه به اینکه کارایی (EF) و ریشه میانگین مربعات خطای (RMSE) هر دو مدل همایی و دیرکسن برابر بود، لذا مدلی انتخاب می‌شود که پارامترهای آن کاملاً مشخص و تعریف

جدول ۳ – آماره‌های محاسبه شده برای مقایسه مدل‌های برآورد پاسخ گیاه کلزا به شوری خاک در آزمایش اول (تیمار ثابت)

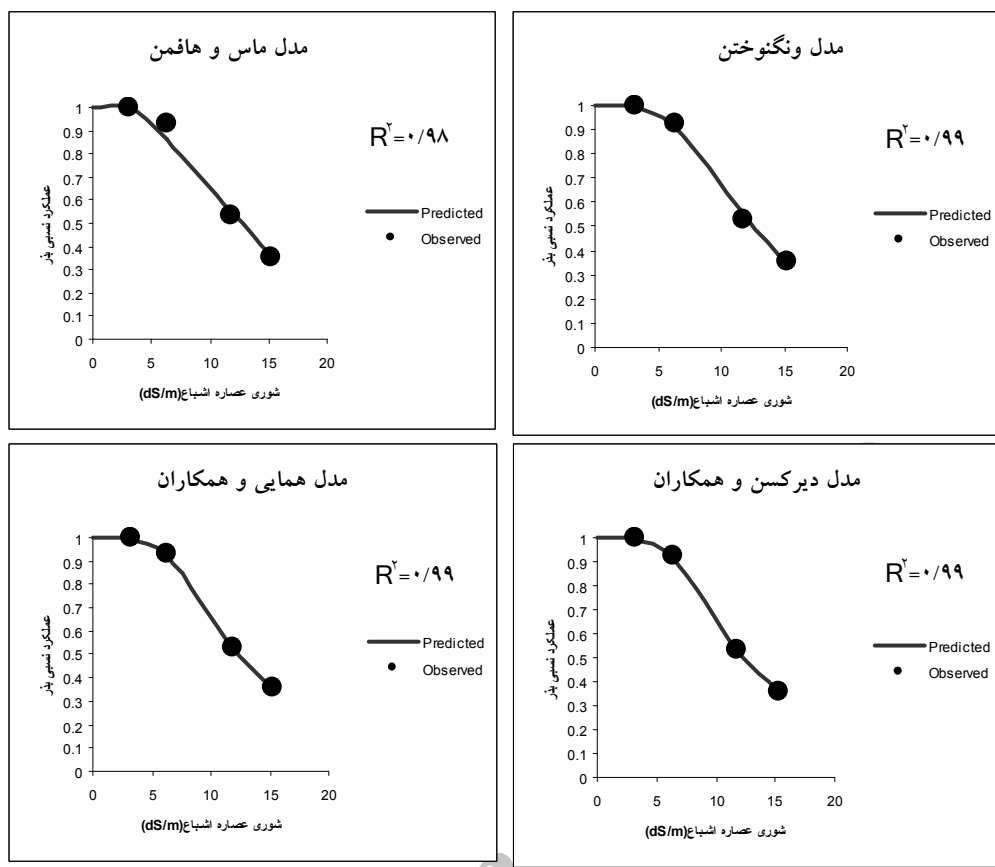
R ²	CRM	ME	EF	CD	RMSE	مدل
۰/۹۸	۰/۰۰۲۰	۰/۰۶۸	۰/۹۸	۱/۰۳	۵/۷۵۰	Maas & Hoffman
۰/۹۹	۰/۰۰۹۰	۰/۰۱۸	۰/۹۹	۱/۰۳	۴/۲۸۰	van Genuchten <i>et al</i>
۰/۹۹	۰/۰۰۵۶	۰/۰۱۰	۰/۹۹	۱/۰۷	۰/۰۹۴	Dirksen <i>et al</i>
۰/۹۹	۰/۰۰۵۶	۰/۰۱۰	۰/۹۹	۱/۰۷	۰/۹۴۰	Homaei <i>et al</i>

به دست آمده، پارامترهای مختلف هر کدام از مدل‌ها برآورد و در جدول (۴) ارایه شده است.

شکل (۳) برآشن مدل‌ها بر داده‌های اندازه‌گیری شده برای تیماری که تنها مرحله آخر رشد خود را تحت تنش بوده است، به نمایش می‌گذارد. این شکل نشان می‌دهد که مقادیر برآورد شده عملکرد نسبی بذر توسط مدل‌های مختلف به ویژه در مدل‌های غیرخطی، با مقادیر اندازه‌گیری شده، مطابقت بیشتری دارد. با برآشن مدل‌های مورد بررسی بر داده‌های

جدول ۴ – پارامترهای مدل‌های ۵، ۶، ۷ و ۹ برای برآورد پاسخ گیاه کلزا به شوری عصاره اشباع خاک در آزمایش دوم

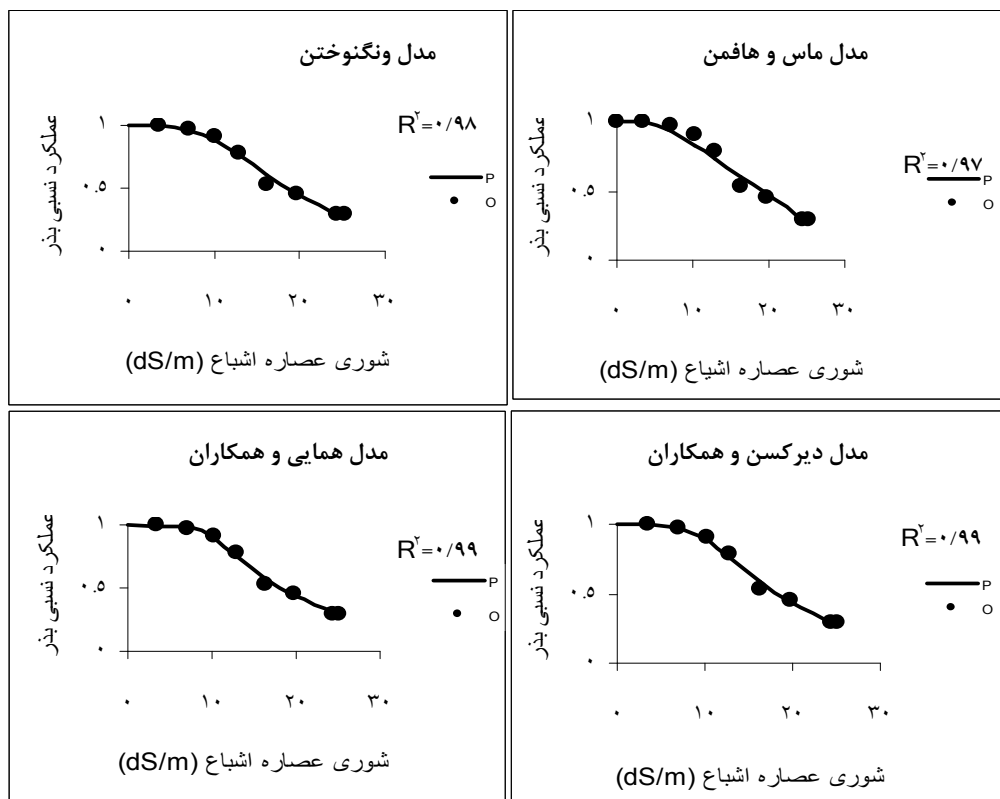
R ²	p	a	b	EC _{max}	EC ₅₀	EC ₀	مدل
۰/۹۷	–	–	۰/۰۳۶	–	–	۵/۵	Maas & Hoffman
۰/۹۸	۳/۲۵	–	–	–	۱۸/۵	–	van Genuchten <i>et al</i>
۰/۹۹	۱/۴۰	–	–	–	۱۸/۳	۳/۴	Dirksen <i>et al</i>
۰/۹۹	۲/۰۰	۰/۲۱	–	۲۹/۹	–	۵/۶	Homaei <i>et al</i>



شکل ۲ - برآورد مدل‌ها بر داده‌های اندازه‌گیری شده در آزمایش اول

اختلاف، بهترین برآورد را ارایه دهد. بنابراین با کمک آمارهای ذکر شده در جدول (۵) مربوط به مدل‌های مختلف، می‌توان به ارزیابی صحیحی از میزان کارآیی هر مدل دست یافت و مناسب‌ترین مدل را انتخاب نمود.

ضریب تبیین (R^2) مدل ۵، کمتر از ضرایب تبیین دیگر معادله (معادلات ۶، ۷ و ۹) می‌باشد که البته از لحاظ آماری هر چهار مدل در یک سطح قرار دارند (۱۶). به عبارت بهتر، مدل‌های غیرخطی در این مرحله توانسته‌اند با حداقل



شکل ۳ - برآذش مدل‌ها بر داده‌های اندازه‌گیری شده در آزمایش دوم

سهول الوصول‌تر باشد. از آنجایی‌که مدل همایی و همکاران (۱۵) از این ویژگی برخوردار است، در مرحله بلوغ این مدل مناسب‌تر شناخته شد، ولی مدل ماس و هافمن (۱۶) را نیز به لحاظ سادگی و روانی معادله، می‌توان به کار برد.

باتوجه به اینکه آمارهای ضریب تبیین (R^2)، ریشه میانگین مربعات خطأ (RMSE) و کارآیی (EF) مدل‌های دیرکسن و همکاران (۵) و همایی و همکاران (۱۵) برابر است، مدلی مناسب‌تر می‌باشد که پارامترهای ورودی آن

جدول ۵ - آماره‌های محاسبه شده برای مقایسه مدل‌های برآورد پاسخ گیاه کلزا به شوری خاک در آزمایش دوم

R^2	CRM	ME	EF	CD	RMSE	مدل
0.97	-0.0003	0.08	0.97	1/03	7/9	Maas & Hoffman
0.98	0.0054	0.06	0.99	1/03	4/2	van Genuchten et al
0.99	0.0035	0.05	0.99	0/99	2/7	Dirksen et al
0.99	0.0035	0.04	0.99	1/07	2/7	Homaee et al

توانستند برآش رضایت‌بخشی بر داده‌های اندازه‌گیری شده داشته باشند. استفاده از پارامترهای آماری برای تعیین مناسب‌ترین مدل در بین مدل‌های غیرخطی، نشان داد که مدل‌های دیرکسن و همکاران، همایی و همکاران و ونگنوختن و هافمن، دارای ضریب تبیین R^2 و کارآیی (EF) یکسانی هافمن، دارای ضریب تبیین R^2 و کارآیی (EF) یکسانی می‌باشند. در این راستا باید مدلی انتخاب شود که اولاً پارامترهای آن کاملاً مشخص و تعریف شده باشد و ثانیاً پارامترهای آن به راحتی قابل اندازه‌گیری باشد. با توجه به اینکه از بین تمام مدل‌های غیرخطی، فقط مدل همایی و همکاران (۱۵) ویژگی‌های فوق را دارا می‌باشد، این مدل مناسب‌ترین مدل شناخته شد. همچنین در آزمایش دوم همانند آزمایش اول، آمارهای محاسبه شده نشان داد که مدل‌های غیرخطی دیرکسن و همکاران و همایی و همکاران به علت داشتن پارامترهای ورودی بیشتر، دارای ضرایب تبیین بالاتری شده و توانستند عملکرد نسبی گیاه را به طور دقیق‌تری پیش‌بینی نمایند. با توجه به اینکه کارآیی (EF) هر دو مدل یاد شده برابر بود، مدل همایی و همکاران که پارامترهای آن کاملاً مشخص و تعریف شده است، مناسب‌ترین مدل شناخته شد.

حد آستانه تحمل شوری کلزا، هنگامی که شوری خاک از ابتدا تا پایان دوره رشد ثابت باشد، براساس یافته‌های ماس و هافمن، ۱۱ دسی‌زیمنس بر متر می‌باشد، در حالی که آستانه کاهش عملکرد کلزا در پژوهش حاضر بسیار متفاوت از عدد ذکر شده توسط این محققین بوده و به شدت به مرحله فیزیولوژیکی که گیاه در آن قرار دارد، وابسته است (۱۶). نتایج به دست آمده از این پژوهش نشان داد که در تیماری که کل دوره رشدی خود را تحت تنفس بوده، تا شوری ۱۵ دسی‌زیمنس بر متر مقداری عملکرد به دست می‌آید و پس از آن هیچ عملکردی عاید نمی‌شود. لیکن در تیماری که تنها یک دوره از دوره‌های رشد خود را تحت تنفس شوری بوده، به رغم کاهش مقدار عملکرد در شوری‌های بیشتر، در همه تیمارهای شوری اندکی عملکرد قابل استحصال می‌باشد. مطلب بالا باید از این پس مورد توجه پژوهش‌گران و برنامه‌نویسان کامپیوتری که در پی برآورده کمی عملکرد گیاهان در محیط‌های شور هستند، واقع شود.

در آزمایش اول، به منظور برآورده کمی عملکرد نسبی، مدل‌های غیرخطی (با حداقل اختلاف) نسبت به مدل خطی ماس و هافمن، دارای ضریب تبیین R^2 بالاتری بودند و

منابع مورد استفاده

۱. جلالی و. ر، همایی م. و میرنیا س. خ (۱۳۸۶) مدل‌سازی واکنش کلزا به شوری طی مراحل مختلف رشد زایشی. علوم کشاورزی و منابع طبیعی. ۱۲ (۴۴): ۱۱۱-۱۲۱.
۲. جلالی و. ر، همایی م. و میرنیا س. خ (۱۳۸۶) تأثیر سطوح مختلف شوری محیط رشد بر جوانه‌زنی و رشد گیاهچه کلزا (Brassica napus L.). ۲۰۹-۲۱۸ (۲) (۲۱).
۳. جلالی و. ر، همایی م. و میرنیا س. خ (۱۳۸۷) مدل‌سازی واکنش کلزا به شوری طی مراحل مختلف رشد زایشی. تحقیقات مهندسی کشاورزی. ۸ (۴): ۹۵-۱۱۲.
۴. همایی م (۱۳۸۱) واکنش گیاهان به شوری. کمیته ملی آبیاری و زهکشی ایران. نشریه شماره ۵۸. تهران. ایران.
5. Dirksen C and Augustijn DC (1988) Root water uptake function for nonuniform pressure and osmotic potential. Agron. J. 15: 185 (Abst.).
6. Dirksen C, Kool JB, Koorevaar P and Van Genuchten MTh (1993) HYSWASOR- Simulation model of hysteretic water and solute transport in the root zone. In: Russo D and Dagan G (Eds.), Water Flow and Solute Transport in Soils. Springer Verlage, New York. Pp. 99-122.
7. Feddes RA, Kowalik P and Zarandy H (1978) Simulation of Field Water Use and Crop Yield. Pudoc. Wageningen. The Netherlands Saline water in supplemental irrigation of wheat and barley under rainfed agriculture. Agr. Water Manage. 78: 122-127.
8. Francois LE (1994) Growth, seed yield, and oil content of canola grown under saline conditions. Agron. J. 86: 233-237.

9. Hamdy A, Sardo V and Farrag Ghanem KA (2005) heads. 14th International Conference on Computational Methods in Water Resources. Delft. The Netherlands.
10. Homae M and Schmidhalter U (2008) Water integration by Plants root under non-uniform soil salinity. Irrigation Sci. 27: 83-95.
11. Homae M and Feddes RA (2002) Modeling the sink term under variable soil water osmotic and pressure heads. Develop. Water Sci. 47: 17-24.
12. Homae M, Dirksen C and Feddes RA (2002a) Simulation of root water uptake. I. Non-uniform transient salinity using different macroscopic reduction functions. Agr. Water Manage. 57: 89-109.
13. Homae M, Feddes RA and Dirksen C (2002b) Simulation of root water uptake. II. Non-uniform transient water stress using different reduction functions. Agr. Water Manage. 57: 111-126.
14. Homae M, Feddes RA and Dirksen C (2002c) Simulation of root water uptake. III. non-uniform transient combined salinity and water stress. Agr. Water Manage. 57: 127-144.
15. Homae M, Feddes RA and Dirksen C (2002d) A macroscopic water extraction model for non-uniform transient salinity and water stress. Soil Sci. Soc. Am. J. 66: 1764-1772.
16. Maas EV and Hoffman GJ (1977) Crop salt tolerance - current assessment. J. Irrig. Drain. E- ASCE. 103: 115-134.
17. Richards LA (1931) Capillary conduction of liquids in porous mediums. Physics. 1: 318-333.
18. Van enuchten MTH and Hoffman GJ (1984) Analysis of crop salt tolerance data. In: Shainberg I and shalhevet J (Eds.), Soil salinity under irrigation process and management. Ecol. Stud. 51. Springer-Verlag, New York, Pp: 258-271.

Modeling the effect of salinity application time of root zone on yield of canola (*Brassica napus* L.)

V. R. Jalali¹ and M. Homaei¹
E-mail: mhomaei@modares.ac.ir

Abstract

Canola response to root media salinity highly depends on its phenological stage. In most investigations, this fact is neglected. Therefore in most studies a single threshold value for each plant is introduced. The objective of this study was to investigate the quantitative response of canola to salinity. The study was done in two different experiments. In the first experiment, canola was exposed to salinity from the first growth stage. In second experiment, plants were irrigated with saline water only at final growth stage. Both experiments were conducted on a natural saline loamy sand soil, using salinity treatments including a non-saline water (tap water) and eight saline waters of levels (3, 5, 7, 11, 13, 15 and 17 dS.m⁻¹). The Maas and Hoffman, van Genuchten and Hoffman, Dirksen *et al.*, and Homaei *et al.*, models were used to predict relative yield as a function of soil salinity. The obtained results based on the calculated maximum error (ME), root mean square error (RMSE), coefficient of determination (CD), modeling efficiency (EF) and coefficient of residual mass (CRM) statistics indicated the Homaei *et al.*, model provides better prediction for both experiments.

Keywords: Canola, Growth stages, Modeling, Relative yield, Threshold salinity

1-Tarbiat Modares University, Faculty of Agriculture, Department of Soil Science. Tehran, Iran (Corresponding Author)